_ ХИМИЧЕСКАЯ ФИЗИКА НАНОМАТЕРИАЛОВ

УЛК 544.47

МОДЕЛИРОВАНИЕ АДСОРБЦИИ ВОДОРОДА НА КЛАСТЕРАХ Au_nNi_m , Au_nCu_m И Cu_nNi_m , n+m=13

© 2022 г. Н. В. Дохликова^{1*}, А. К. Гатин¹, С. Ю. Сарвадий¹, С. А. Озерин¹, Е. И. Руденко¹, М. В. Гришин¹, Б. Р. Шуб¹

¹Федеральный исследовательский центр химической физики им. Н.Н. Семёнова Российской академии наук, Москва, Россия

*E-mail: dohlikovanv@gmail.com
Поступила в редакцию 21.05.2020;
после доработки 14.05.2021;
принята в печать 20.05.2021

В работе представлены результаты квантовохимического моделирования адсорбции атома водорода на биметаллических наночастицах AuNi, AuCu и CuNi. Установлено, что изменения электронной структуры этих кластеров зависят как от трансформации атомной структуры кластера, так и переноса заряда. Влияние переноса заряда проявляется наиболее заметно в кластерах, состоящих из атомов со слабо различающейся постоянной решетки Cu и Ni. При сильных различиях этого параметра изменения адсорбционных свойств будут определяться в большей степени трансформацией атомной структуры.

Ключевые слова: биметаллические наночастицы, золото, никель, медь, водород, адсорбция, теория функционала плотности, квантовохимическое моделирование, сканирующая туннельная микроскопия и спектроскопия.

DOI: 10.31857/S0207401X22040021

ВВЕДЕНИЕ

Современные адсорбенты [1], защитные покрытия [2], катализаторы [3], сенсоры [4], элементы электронных схем и улучшенные аккумуляторы [5] невозможно представить без использования различных функциональных наноразмерных материалов. Поэтому проблема разработки и поиска новых, обладающих более высокими характеристиками структурированных на наноуровне систем, остается актуальной. Вследствие этого покрытия на основе биметаллических наночастиц на подложках различной природы являются перспективными материалами с управляемыми физическо-химическими свойствами [6-8]. Совокупность многочисленных особенностей атомного и электронного строения, характерных для структур такого типа, может привести к нелинейному и неаддитивному изменению параметров биметаллической системы, т.е. к синергетическому эффекту [9]. Таким образом, взаимодействие между компонентами биметаллической, нанесенной наноразмерной структуры приводит к тому, что такие системы могут иметь сложное внутреннее строение (т.е. атомную и электронную структуры) изза чего многие вопросы о механизмах протекания на них химических процессов, в том числе адсорбции, десорбции и др., остаются открытыми.

Термин "атомная и электронная структура наноразмерной системы" означает совокупность связанных положительных ионов и электронов, которая характеризуется длинами и углами связей между атомами, а также распределением электронов по уровням энергии.

При использовании численного моделирования с применением теории функционала плотности (ТФП) можно получить подробную информацию об изменениях атомной и электронной структур моделей наночастиц - кластеров из состава описанных выше систем и проводить вычисления параметров адсорбции на них атомов и молекул. Для вычисления изменений электронной структуры проводятся расчеты плотностей состояний таких систем. Однако только сопоставление полученных данных численного моделирования с экспериментальными результатами сканирующей туннельной микроскопии и спектроскопии (СТМ/СТС), проведенных на хорошо определенных биметаллических структурированных на наноуровне покрытиях, позволяет достичь более полного понимания протекающих поверхностных реакций.

Биметаллические кластеры являются достаточно широко исследуемыми объектами. В ряде работ показано, что внедрение гетероатомов в кластер металла оказывает сильное воздействие

на его физико-химические свойства [10-12]. Например, добавление атома переходного металла в кластер золота [13] увеличивает энергетическую стабильность, т.е. энергию образования. При этом его адсорбционные и электронные свойства определяются особенностями взаимодействия внешних электронных орбиталей атомов золота и примеси, а именно степенью перекрытия d-d и s-d орбиталей атомов золота и переходного металла. Например, атомы Ni и Pt усиливают взаимодействие между атомами в кластере благодаря большему перекрыванию *s*-орбиталей по сравнению с атомами Pd. Степень гибридизации s-d-орбиталей и выраженности релятивистских эффектов также влияют на тенденцию к образованию планарных структур, которая наиболее сильна в кластерах Au—Pt и Au—Pd, что доказано в работе [14].

Исследование окисления СО на кластерах типа MAu_6 (M = Ni, Pt, Pd) [15] показало, что при допировании атомами Ni кислород адсорбируется на кластере в атомарной форме. Похожее исследование окисления СО на кластерах AuCu [16] выявило снижение реакционного барьера при добавлении Си. При этом, однако, ухудшается селективность за счет более сильного связывания CO с кластером AuCu. Исследование устойчивости биметаллических кластеров NiCu на графене с дефектом (вакансией атома углерода) показало, что взаимодействие кластера с графеном через Ni энергетически выгодно за счет большего переноса заряда от Cu к Ni [17]. Применение ТФП для моделирования адсорбции CO₂ на кластерах Pd—Cu показало, что икосаэдрический кластер Pd₅Cu₈ относится к числу "магических", т.е. обладает повышенной стабильностью, а перенос заряда от Си к Pd может снизить отравление CO₂ [18]. Исследование каталитической реакции полугидрирования ацетилена $C_2H_2 + H_2 \rightarrow C_2H_4$ на биметаллических кластерах Pt-Cu показало, что происходит насыщение платины электронами, которое допускает образование комплекса этилена через π -связь [19].

На основании вышесказанного можно заключить, что биметаллические наночастицы представляют собой системы со сложно организованной внутренней структурой, физико-химические свойства которой обусловлены взаимным расположением и типом атомов, из которых она состоит. Поиск и исследование ключевых факторов, определяющих каталитические свойства наночастиц биметаллов, является одной из главных целей как настоящей работы, так и катализа на наночастицах в целом.

Ранее нами проведено исследование трансформации, т.е. изменения атомной и электронной структур кластеров Au [20], Cu и AuCu [21], Ni и AuNi [22], в том числе при взаимодействии с атомарным водородом. Цель нашей работы — определение качественных тенденций изменения

энергии адсорбции атома водорода при варьировании элементного состава биметаллических кластеров AuCu, AuNi и CuNi и выявление взаимосвязи между элементным составом кластера, его электронной структурой и параметрами адсорбции атома водорода.

МЕТОЛИКА ИССЛЕДОВАНИЙ

Численный эксперимент, моделирующий взаимодействие водорода с наночастицами на основе Au. Cu и Ni. проведен в рамках теории функционала плотности в обобщенном градиентном приближении и с функционалом РВЕ. Для расчетов использовали программные пакеты Quantum Espresso 5.1.1 (QE) [23] и OpenMX 3.8 (OMX) [24]. Релятивистские поправки движения электронов учтены при генерации ультрамягкого псевдопотенциала. Энергия отсечки базисного набора в пакете ОЕ взята из рекомендаций к программным пакетам. Объем расчетной ячейки выбран после тестовых расчетов. Наборы примитивных базисных функций в пакете ОМХ взяты из документации к программному пакету. Спиновая поляризация не учитывалась. В результате моделирования определяли значения энергии и длины связи для каждого места адсорбции атома водорода на биметаллическом кластере, а также спроектированные плотности состояний отдельных атомов из ближайшего окружения адсорбата до и после взаимодействия с атомом водорода. Для получения более подробной информации кривые плотности состояний *d*- и *s*-орбиталей построены отдельно, поскольку при адсорбции водорода на наноразмерных системах переходных и благородных металлов они могут изменяться различным образом.

В качестве моделей наночастиц использованы 13-атомные кластеры. Ранее нами показано, что для качественного описания взаимодействия водорода с наночастицами достаточно кластеров именно такого размера [20]. Для исследований выбраны биметаллические кластеры двух различных типов: янус-кластеры и кластеры с одним замещенным атомом. Таким образом, в данной работе исследован ряд из шести кластеров с замещенным поверхностным атомом, обозначенных как: Au₁₂Ni₁, $Cu_{12}Ni_1, Cu_{12}Au_1, Ni_{12}Au_1, Au_{12}Cu_1, Ni_{12}Cu_1,$ и шесть янус-кластеров, обозначенных как, Au₇Cu₆, Cu₇Au₆, Au₇Ni₆, Ni₇Au₆, Cu₇Ni₆, Ni₇Cu₆. Атомная структура всех биметаллических кластеров была оптимизирована, т.е. соответствовала локальному минимуму энергии. Для янус-кластеров Au₇Cu₆ и Au₇Ni₆ можно отметить тенденцию к планарности, свойственную небольшим кластерам золота [25].

Известно, что для кластеров металлов с одним и тем же количеством атомов характерно существование стабильных изомеров с близкими энергиями образования. Адсорбция атома водорода также мо-

Кластер	S	E_b , эВ	R_b , Å	d_z , \ni B
	1	-2.64	1.61	
Au_{13}	2	-2.49	1.80	-2.66
	3	-2.34	1.91	
Cu ₁₃	1	-2.29	1.52	
	2	-2.58	1.69	-0.66
	3	-2.71	1.79	
Ni ₁₃	1	-2.59	1.52	
	2	-3.014	1.67	0.0038
	3	-3.098	1.77	1

 $\it Tаблица~1$. Энергия взаимодействия $\it E_b$ и длина связи $\it R_b$ атома $\it H$, адсорбированного на сайтах с различным числом центров $\it S$ на поверхности монометаллических кластеров $\it Au_{13}$, $\it Cu_{13}$, $\it Ni_{13}$; $\it d_z-$ центр распределения плотности состояний $\it d$ -орбиталей

жет послужить причиной перехода от одного изомера к другому. Таким образом, изменения плотности состояний при адсорбции водорода могут быть связаны не только с образованием связи Н— Me (Me = Au, Ni, Cu), но и с трансформацией атомной структуры кластера в целом. Поскольку основное внимание в данной работе посвящено исследованию изменений спектров электронов биметаллических кластеров при взаимодействии с водородом и сопоставлению полученных результатов с экспериментальными данными, происходящая при адсорбции трансформация атомной структуры внесет значительные возмущения в рассчитываемые плотности состояний. Для того чтобы этого избежать, взаимное расположение атомов металла в кластере до и после взаимодействия с водородом остается неизменным. Далее в статье положение адсорбированного атома водорода на кластере будем называть сайтом и обозначать буквой "s".

Для кластеров с внедренным атомом проведены исследования двух сайтов адсорбции: на примесном атоме — s1 и соседнем с ним атоме — s2. Для янус-кластеров проведены исследования четырех сайтов адсорбции: два на интерфейсе — si и два на максимальном удалении от интерфейса, на "вершинах" — sv. Ниже подсистема сайта указывается в скобках, например: сайт на вершине меди — sv(Cu), на интерфейсе золота — si(Au), на внедренном атоме никеля — s1(Ni).

КВАНТОВОХИМИЧЕСКОЕ МОДЕЛИРОВАНИЕ

На рис. 1 приведены кривые рассчитанных спроектированных плотностей d- и s-орбиталей и диаграммы энергетических уровней атомов гомогенных кластеров Au_{13} , Cu_{13} и Ni_{13} при адсорбции водорода. Согласно полученным данным атом

водорода взаимодействует с кластерами золота и меди со сдвигом плотности состояний *d*-орбиталей вниз относительно уровня Ферми ($E_{\rm F}$), снижением плотности состояний *s*-орбиталей и образованием разрыхляющего состояния (рис. 1a, δ). При взаимодействии с никелем такого не происходит, поскольку состояния вблизи уровня Ферми образованы в основном d-орбиталями (рис. 1e). Значения энергии связи для сайтов с разным числом центров S представлены в табл. 1. Как видно из таблицы, центр распределения плотности состояний *d*-орбиталей атомов Au и Cu расположены ниже уровня Ферми, а у атома Ni он практически лежит на уровне Ферми. Можно отметить, что для более легких атомов меди и никеля предпочтителен трехцентровый сайт адсорбции, в то время как для золота наиболее энергетически выгоден одноцентровый сайт.

Согласно предположению Норскова и Хаммера [26], существует взаимосвязь между химической активностью кластера и положением "центра тяжести" заполненных состояний его d-зоны. При расчете плотности состояний в биметаллических кластерах необходимо учитывать искажение атомной структуры, вызванное присутствием в них атомов разных типов. Биметаллический кластер может испытывать растяжение или сжатие в зависимости от атомного состава. При растяжении перекрытие атомных оболочек уменьшается, что приводит к сужению и сдвигу вверх распределения плотностей состояний относительно плотности состояний невозмущенного кластера. При сжатии перекрытие атомных оболочек, напротив, увеличивается, что приводит к расширению и сдвигу вниз распределения плотностей состояний.

Однако помимо трансформации атомной структуры в биметаллическом кластере возможно также перераспределение электронной плотности, что может привести к избыточному заряду на

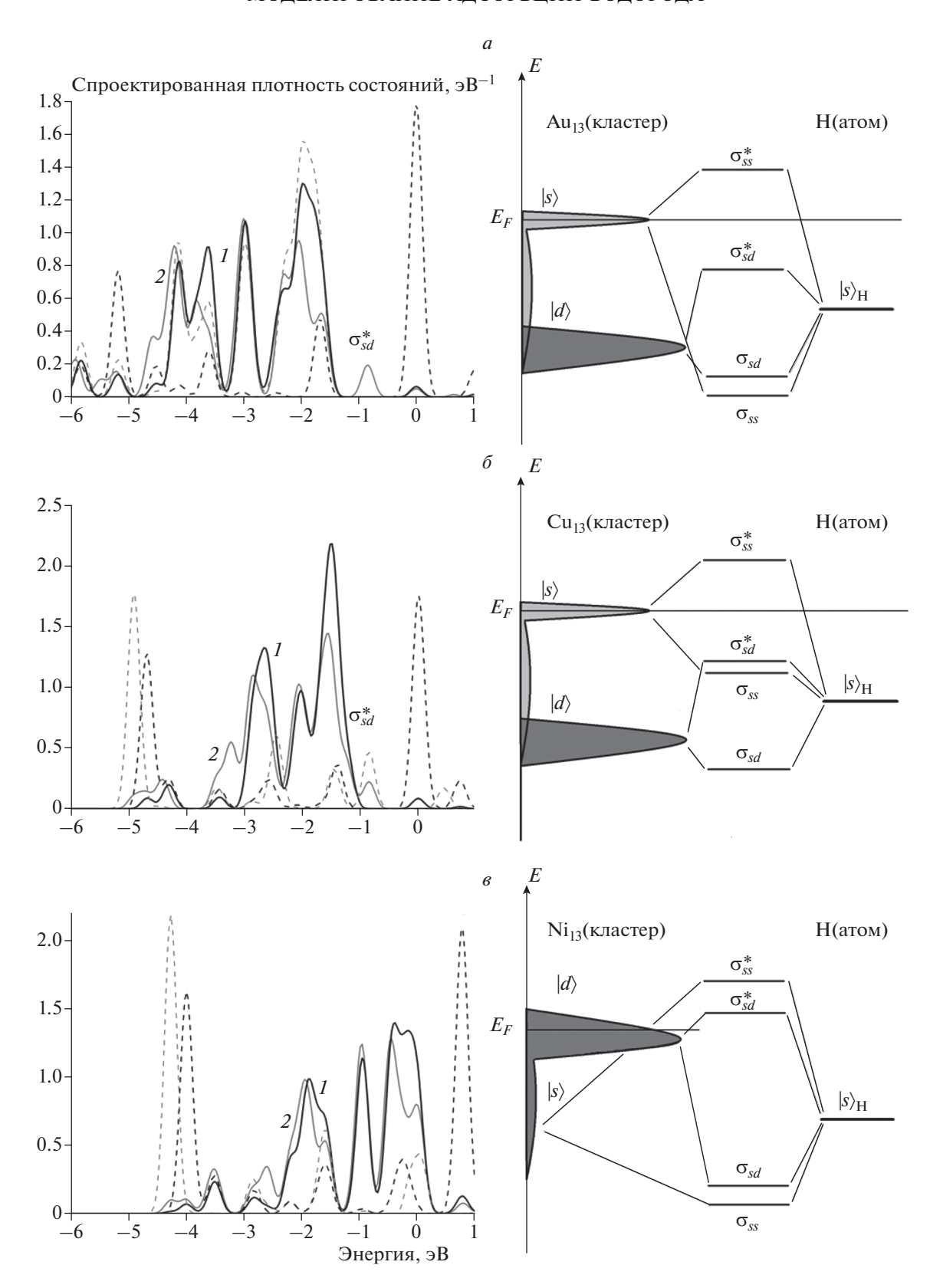


Рис. 1. Спроектированные плотности состояний d- и s-орбиталей атомов кластеров металлов при адсорбции атома H и конфигурационные схемы адсорбционных комплексов: $a-\mathrm{Au}_{13}, \delta-\mathrm{Cu}_{13}, s-\mathrm{Ni}_{13}$. На всех графиках: сплошные линии — плотность состояний d-орбиталей, штриховые линии — плотность состояний s-орбиталей; I (черная кривая) — плотность состояний до адсорбции атома H, 2 (серая кривая) — плотность состояний после адсорбции атома H, σ_{ss}/σ_{sd} — связывающая орбиталь, $\sigma_{ss}^*/\sigma_{sd}^*$ — разрыхляющая орбиталь полученного адсорбционного комплекса атома H и кластера.

- 10 10						
Атом\кластер	Au_{13}	Cu ₁₃	Ni ₁₃			
Au	0	-0.44e	-0.25e			
Cu	+0.36e	0	-0.13e			
Ni	+0.48e	+0.23e	0			

Таблица 2. Расчетные значения зарядов на внедренных атомах Au, Cu, Ni в кластерах Au_{13} , Cu_{13} и Ni_{13} ; e- заряд электрона

 ${\it Таблица}$ 3. Разность между энергией связи сайта адсорбции атома водорода на поверхности биметаллических кластеров AuCu, AuNi, CuNi и энергией связи сайта адсорбции с тем же числом центров атома водорода на поверхности монометаллического кластера, ΔE_h

Кластер	Сайт	ΔE_b , эВ	Кластер	Сайт	ΔE_b , эВ	Кластер	Сайт	ΔE_b , \ni B
Au ₇ Cu ₆	si(Au)	0.078	Au ₇ Ni ₆	si(Au)	0.051	Cu ₇ Ni ₆	si(Cu)	-0.134
	sv(Au)	0.068		sv(Au)	0.021		sv(Cu)	-0.153
	si(Cu)	-0.146		si(Ni)	0.004		si(Ni)	0.044
	sv(Cu)	-0.176		sv(Ni)	-0.027		sv(Ni)	0.071
Cu ₇ Au ₆	si(Au)	0.063	Ni ₇ Au ₆	si(Au)	0.038	Ni ₇ Cu ₆	si(Cu)	-0.145
	sv(Au)	0.075		sv(Au)	0.056		sv(Cu)	-0.161
	si(Cu)	-0.178		si(Ni)	-0.021		si(Ni)	0.055
	sv(Cu)	-0.021		sv(Ni)	0.013		sv(Ni)	0.067

некоторых атомах. Избыток или недостаток электронной плотности может повлиять на взаимодействие с атомом водорода неоднозначно, так как приводит к изменению уровня Ферми и трансформации атомной структуры. Анализ заселенности по Малликену показал, что в биметаллических кластерах атомы золота всегда заряжены отрицательно (Au^-), а атомы никеля — положительно (Ni^+). Атом меди приобретает отрицательный заряд в окружении атомов никеля (Cu^-) и положительный заряд — в окружении атомов золота (Cu^+). Наибольший заряд приобретает единичный внедренный атом (табл. 2).

На рис. 2 приведены кривые, иллюстрирующие рассчитанные спроектированные плотности состояний d- и s-орбиталей биметаллических кластеров Cu₇Au₆, Ni₇Au₆, Cu₇Ni₆. На рисунке показаны результаты адсорбции водорода на сайтах si трех кластеров из шести исследованных, поскольку качественные тенденции к изменению электронной структуры кластеров Au₇Cu₆ и Cu₇Au₆, Au₇Ni₆ и Ni₇Au₆, Cu₇Ni₆ и Ni₇Cu₆, соответственно, совпадают. В табл. 3 представлены величины изменения энергии связей сайтов адсорбции атома водорода на поверхности биметаллических кластеров и сайтов адсорбции с тем же числом центров атома водорода на поверхности монометаллического кластера. Согласно резонансной модели хемосорбции расширение распределения плотности состояний будет приводить к уменьшению энергии связи, а сжатие, напротив, — к ее увеличению [27].

Расчет плотностей состояний показал, что изменения энергетических спектров в янус-кластерах AuCu и AuNi заключаются в расширении и сдвиге вниз по энергии плотности состояний атомов золота (рис. 2a, 6). Распределение плотности состояний атомов меди, напротив, сужается и сдвигается вверх по энергии (рис. 26). Плотность состояний атомов никеля практически не меняется (рис. 2г) по сравнению с этими же параметрами в соответствующих монометаллических кластерах. Очевидно, что поскольку равновесное расстояние между атомами Аи больше, чем между атомами Си и Ni, основная тенденция к изменению плотности состояний обусловлена трансформацией атомной структуры и заметней проявляется для атомов с заполненной d-оболочкой, Au и Cu. В янус-кластере CuNi плотность состояний атомов Си и Ni не меняется существенно по сравнению с плотностями состояний в монометаллических Си- и Ni-кластерах, поскольку равновесные расстояния между атомами Cu и Ni отличаются не сильно (рис. 2∂ , e).

Указанные тенденции к изменению плотности состояний в целом коррелируют с изменениями энергии связей сайтов адсорбции атома Н на поверхности биметаллических кластеров и сайтов адсорбции с тем же числом центров атома Н на поверхности монометаллического кластера, представленными в табл. 3. Согласно результатам расчетов,

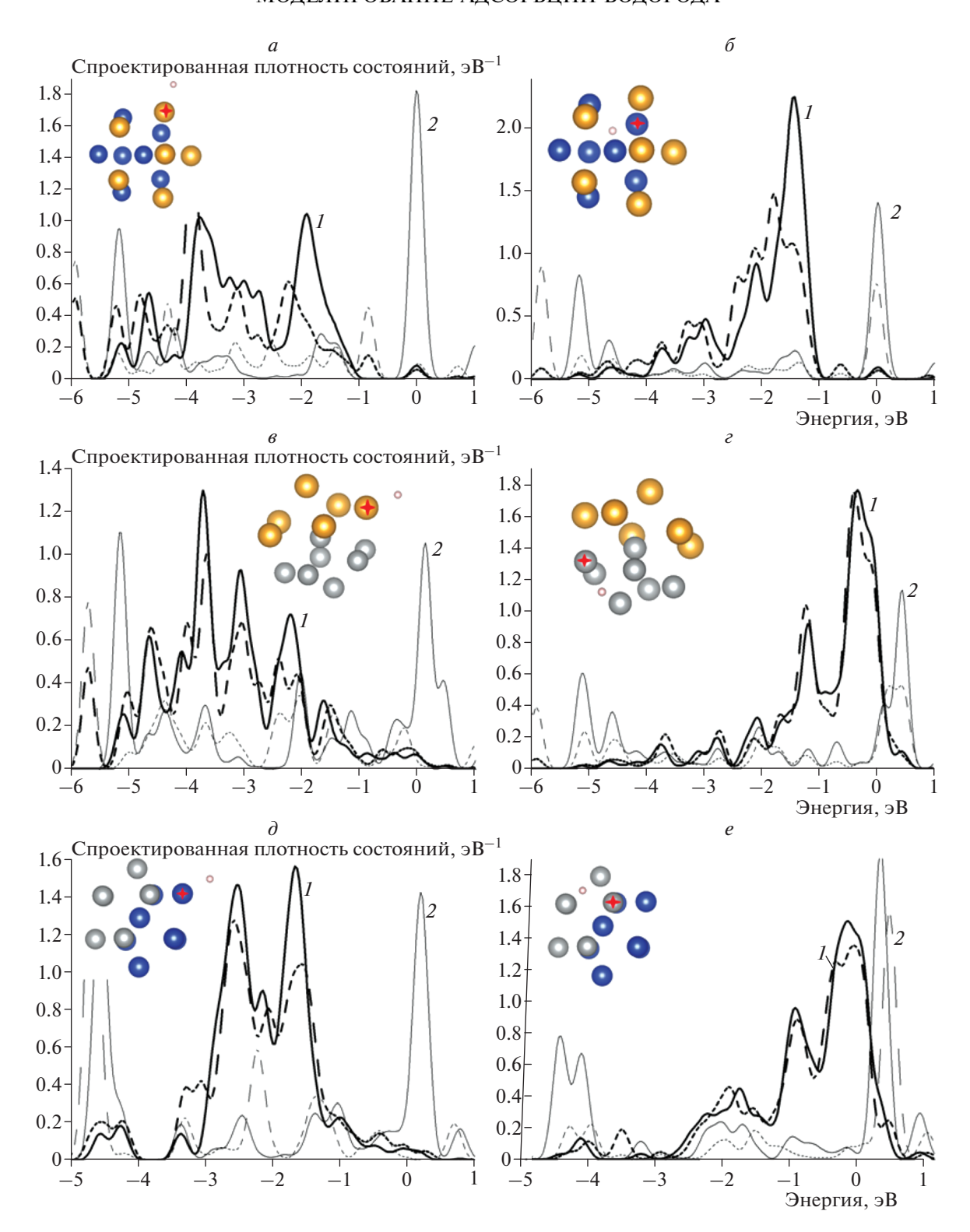


Рис. 2. Спроектированные плотности состояний d- и s-орбиталей атомов кластеров AuCu, AuNi и CuNi при адсорбции атома H для различных сайтов: a — сайт si(Au) кластера Cu_7Au_6 , δ — сайт si(Cu) кластера Cu_7Au_6 , δ — сайт si(Cu) кластера Cu_7Au_6 , δ — сайт si(Ni) кластера Si(Ni) кластера

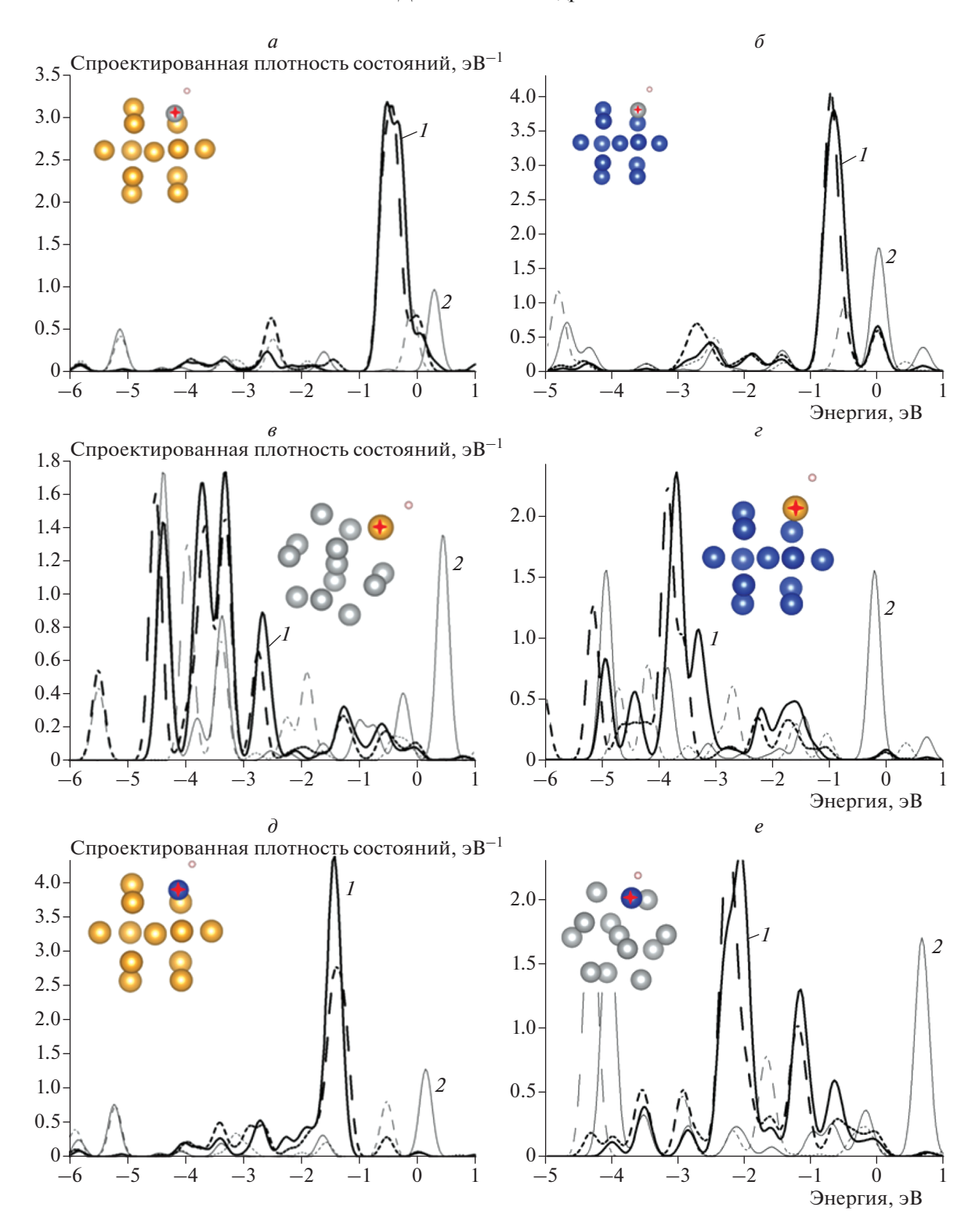


Рис. 3. Спроектированные плотности состояний d- и s-орбиталей атомов кластеров $Au_{12}Ni_1$, $Cu_{12}Ni_1$, $Ni_{12}Au_1$, $Cu_{12}Au_1$ $Au_{12}Cu_1$, $Ni_{12}Cu_1$ при адсорбции атома H для различных сайтов: a — сайт s1 кластера $Au_{12}Ni_1$, δ — сайт s1 кластера $Cu_{12}Ni_1$, δ — сайт s1 кластера $Ni_{12}Au_1$, ϵ — сайт s1 кластера $Cu_{12}Au_1$, ϵ — сайт s1 кластера $Au_{12}Cu_1$, $au_{12}Cu$

энергия связи атома водорода на подсистеме Au уменьшается, а на подсистемах Cu и Ni увеличивается по сравнению с монометаллическими кластерами, что коррелирует с изменениями энергетических спектров под влиянием трансформации атомной структуры. В янус-кластере CuNi энергия связи атома Н на медной подсистеме увеличивается, а на никелевой – уменьшается. Однако плотность состояний при этом практически неизменна. Видимо, в таком биметаллическом кластере с близкими значениями равновесных расстояний между атомами большую роль будет играть перераспределение электронной плотности. Действительно, согласно данным табл. 2, подсистема Си приобретает отрицательный заряд, а подсистема Ni – положительный, что согласуется с изменениями энергии связей.

При адсорбции водорода плотность состояний в янус-кластерах AuCu и AuNi качественно изменяется так же, как и в монометаллических кластерах. Происходит сдвиг плотности состояний *d*-орбиталей вниз по энергии и снижение плотности состояний *s*-орбиталей в околофермиевской области для атомов золото (рис. 2a, e) и меди в кластере AuCu (рис. 26), при этом энергетический спектр атомов никеля не меняется (рис. 2г). В янус-кластере CuNi плотность состояний атомов Ni (рис. 2e) и атомов Cu в кластере CuNi (рис. 2∂) практически не меняется. Полученные результаты моделирования коррелируют с результатами СТМ/СТС-экспериментов [20-22, 28]. Согласно им, после экспозиции в водороде наблюдалось снижение проводимости туннельного контакта для подсистемы Au в биметаллическом покрытии AuNi, причем вольт-амперные характеристики подсистемы Ni не менялись. При экспозиции в водороде биметаллического покрытия AuCu происходило снижение проводимости подсистем и золота и меди. На проводимость структуры CuNi экспозиция в водороде не оказывала заметного влияния.

На рис. 3 приведены кривые рассчитанных спроектированных плотностей состояний d- и s-орбиталей биметаллических кластеров $\mathrm{Au}_{12}\mathrm{Ni}_1$, $\mathrm{Cu}_{12}\mathrm{Ni}_1$, $\mathrm{Ni}_{12}\mathrm{Au}_1$, $\mathrm{Cu}_{12}\mathrm{Au}_1$, $\mathrm{Au}_{12}\mathrm{Cu}_1$, $\mathrm{Ni}_{12}\mathrm{Cu}_1$. Для краткости показаны результаты адсорбции атома H на сайтах $\mathrm{s}1$, поскольку изменения энергетических спектров на сайте $\mathrm{s}2$ практически аналогичны изменениям в соответствующих монометаллических кластерах. Ниже представлены изменения энергии связей сайтов адсорбции атома водорода на поверхности биметаллических кластеров и сайтов адсорбции с тем же числом центров атома водорода на поверхности монометаллического кластера:

Кластер $Au_{12}Ni_1$ $Cu_{12}Ni_1$ $Cu_{12}Au_1$ $Ni_{12}Au_1$ $Au_{12}Cu_1$ $Ni_{12}Cu_1$ ΔE_h , эВ 0.170 0.069 0.079 0.013 -0.024 -0.137

Поскольку на единственном замещенном атоме в биметаллическом кластере накопление заряда больше, можно предположить отклонения от резонансной модели хемосорбции.

Действительно, расчеты показали, что плотность состояний атома Ni^+ сдвинута вниз (рис. 3a, δ) и энергия связи с атомом Н меньше, чем в монометаллическом кластере. Как можно заключить, здесь проявляется влияние заряда, при доминирующей трансформации атомной структуры плотность состояний должна была сдвигаться вверх по энергии. Плотность состояний внедренного атома Au^- сдвинута вниз по энергии (рис. 3e, ϵ) и энергия связи с атомом Н меньше, чем в монометаллическом кластере, что говорит о преобладающем попрежнему влиянии трансформации атомной структуры. Энергия связи внедренного атома Си с атомом Н всегда больше, чем в монометаллическом кластере, при этом плотность состояний атома Cu⁺ в окружении атомов Au сдвигается вверх по энергии (рис. 3∂), что указывает на преобладающее влияние трансформации атомной структуры, а плотность состояний атома Cu⁻ в окружении атомов Ni сдвигается вниз по энергии (рис. 3e), что может быть связано с влиянием заряда.

выводы

Для определения взаимосвязи изменений атомной и электронной структур наночастиц биметаллов и их адсорбционных свойств в данной работе с помощью ТФП-моделирования исследовано взаимодействие атома водорода с кластерами биметаллов AuNi, AuCu, CuNi. Установлено, что:

- 1. Изменения электронной структуры кластеров биметаллов зависят как от трансформации атомной структуры кластера, так и от переноса заряда между атомами кластера.
- 2. Преобладающий фактор при изменении электронной структуры обусловлен элементным составом кластеров и разностью равновесных межатомных расстояний моноатомных кластеров.
- 3. В кластерах, содержащих атомы с большой разностью равновесных межатомных расстояний, а именно AuCu, AuNi, основное влияние оказывает трансформация атомной структуры.
- 4. В кластерах CuNi межатомные расстояния отличаются незначительно, поэтому изменения адсорбционных свойств, главным образом, связаны с переносом заряда между атомами кластера.
- 5. Результаты численного моделирования коррелируют с данными экспериментов по адсорбции атома водорода на биметаллических структурированных на наноуровне покрытиях AuNi, AuCu, CuNi, выполненными с помощью методик сканирующей туннельной микроскопии/спектроскопии.

Все расчеты выполнены с использованием ресурсов Межведомственного суперкомпьютерного центра РАН (МСЦ РАН).

Работа выполнена в рамках государственного задания (номер госрегистрации темы AAAA-A20-120013190076-0), а также при финансовой поддержке Российским фондом фундаментальных исследований (грант № 18-03-00060).

СПИСОК ЛИТЕРАТУРЫ

- 1. *Liu W.Z.*, *Xu X.J.*, *Wang Y.J. et al.* // Chin. Sci. Bull. 2010. V. 55. № 4–5. P. 373.
- Sharma R.P., Raut S.D., Jadhav V.V. et al. // Mater. Lett. 2019. V. 237. P. 165.
- 3. *Ling X.Y., Yan R.X., Lo S. et al.* // Nano Res. 2014. V. 7. № 1. P. 132.
- 4. *Khan S.B., Rahman M.M., Akhtar K. et al.* // Plos One. 2014. V. 9. № 10. P. 7.
- Zhou G., Zhu J., Chen Y.J. et al. // Electrochim. Acta. 2014. V. 123. P. 450.
- Свиридова Т.В., Антонова А.А., Бойков Е.В. и др. // Хим. физика. 2013. Т. 32. № 4. С. 29.
- 7. *Матвеева В.Г., Степачёва А.А., Шиманская Е.И. и др.* // Хим. физика. 2019. Т. 38. № 11. С. 77.
- Билалов Т.Р., Гумеров Ф.М., Габитов Ф.Р. // Сверхкритич. флюиды. 2018. Т. 13. № 2. С. 40.
- 9. *Gross A.* // Top. Catal. 2006. V. 37. № 1. P. 29.
- Яржемский В.Г., Дьяков Ю.А., Изотов А.Д. и др. // Журн. неорган. химии. 2019. Т. 64. № 10. С. 1057.
- 11. Яржемский В.Г., Казарян М.А., Дьяков Ю.А. и др. // Там же. 2017. Т. 62. № 1. С. 69.

- 12. Яржемский В.Г., Изотов А.Д., Казарян М.А. и др. // ДАН. 2015. Т. 462. № 1. С. 55.
- Yuan D.W., Wang Y., Zeng Z. // J. Chem. Phys. 2005.
 V. 122. № 11. P. 11.
- 14. *Ranjan P., Chakraborty V.* // J. Nanopart. Res. 2020. V. 22. № 2. P. 11.
- Nigam S., Sahoo S.K., Sarkar P. et al. // Chem. Phys. Lett. 2013. V. 584. P. 108.
- Ma L., Laasonen K., Akola J. // J. Phys. Chem. C. 2017.
 V. 121. № 20. P. 10876.
- 17. Montejo-Alvaro F., Rojas-Chavez H., Herrera-Rivera R. et al. // Physica E. 2020. V. 118. P. 6.
- Baraiya B.A., Mankad V., Jha P.K. // Spectrochim. Acta A. 2020. V. 229. P. 8.
- 19. *Ayodele O.B., Cai R.S., Wang J.G. et al.* // ACS Catal. 2020. V. 10. № 1. P. 451.
- 20. Дохликова Н.В., Колченко Н.Н., Гришин М.В. и др. // Рос. Нанотехнол. 2016. Т. 11. № 1-2. С. 17.
- 21. *Гатин А.А., Гришин М.В., Дохликова С.В. и др. //* Росс. Нанотехнол. 2018. Т. 13. № 9–10. С. 3.
- 22. Гришин М.В., Гатин А.К., Дохликова Н.В. и др. // Росс. Нанотехнол. 2016. Т. 11. № 11—12. С. 49.
- 23. *Giannozzi P., Andreussi O., Brumme T. et al.* // J. Phys. Condens. Matter. 2017. V. 29. № 46. P. 30.
- 24. *Ozaki T., Kino H.* // Phys. Rev. B. 2004. V. 69. № 19. P. 19.
- 25. Assadollahzadeh B., Schwerdtfeger P. // J. Chem. Phys. 2009. V. 131. № 6. P. 11.
- 26. *Hammer B.*, *Norskov J.K.* // Adv. Catal. 2000. V. 45. P. 71.
- 27. *Hammer B., Norskov J.K.* // Surf. Sci. 1996. V. 359. № 1–3. P. 306.
- 28. *Гришин М.В., Гатин А.К., Дохликова Н.В. и др. //* Хим. физика. 2019. Т. 38. № 1. С. 3.